

(財)電力中央研究所 正会員 尾崎 幸男
 中央大学・埼玉大学 正会員 林 森造

1. はじめに

本報は、線型河床安定理論の立場から、単列および複列の水流蛇行発生の基本的メカニズムと卓越波長について研究を行い、解析結果と実際河川の実測値および実験値と比較したものである。

さらに、上述の理論展開から求めらる水長パラメータを用いると種々の河床形態の形成領域が明確に区別できることを示し、実測値との比較を行った。

2. 局所流砂量と運水距離

本研究では Einstein-Brown の式(1950)に運水距離 δ を導入した次の局所流砂量式を用いる。

$$\bar{Q}_x = T_x / [\sqrt{(s-1)gd^3} F_s] = 40 [\tau_x(x, y)]^3 \dots (1.a)$$

$$\bar{Q}_y = T_y / [\sqrt{(s-1)gd^3} F_s] = [v/u] \bar{Q}_x(x, y) \dots (1.b)$$

ただし、 $F_s = \sqrt{2/3 + 36\nu^2/gd^3(s-1) - \sqrt{36\nu^2/gd^3(s-1)}} \dots (1.c)$
 d : 粒径, s : 砂の比重, ν : 水の動粘性係数,

$$\tau_x = \tau_x / [\rho(s-1)gd]: \text{無次元掃流力} \dots (1.d)$$

流砂自身の慣性によって、流砂量が掃流力に対してあつ運水距離 δ は流砂量の非平衡性を表わすと考えられる。(林・尾崎・大西 1978.1. 研究成果) ここで、橋・斎藤(1967)の Einstein モデルに基づく非平衡流砂量式

$$[\lambda_p d / D_0] d \bar{Q} / d(x/D_0) = (\bar{Q}_0 - \bar{Q}) / [1 + \alpha_4 \bar{Q}_0] \dots (2)$$

を用いて δ を求めると次のようになる。

$$\delta = \lambda_p d (1 + \alpha_4 \bar{Q}_0) \dots (3)$$

ここで、 \bar{Q}_0 : 非平衡, 平衡状態での掃流砂量, $\lambda_p = 100$, $\alpha_4 = 43.5$: Einstein's const., D_0 : 発達時水深。

(5) 式中の \bar{Q}_0 を Einstein-Brown の式を代入すると、

$$\delta = \lambda_p d [1 + 40 \alpha_4 \{D_0 S / (s-1)d\}^3] \\ = \lambda_p d [1 + 5 \alpha_4 \{F D_0 / (s-1)d\}^3] \dots (4)$$

と表わされる。ここで、 S : 平均河床勾配, $F = u/\sqrt{gsD_0}$ 。

後に示されるように、この運水距離 δ は mode $m=1$ の単列蛇行の発生には不可欠な要素である。

3. 基礎方程式 (shallow-water flow model)

図-1 のような矩形の移動河床直線水路の流いを考えるとき、流いは shallow-water flow とみなせて以下

の式が成り立つ。ただし、流いは準定常と考える。

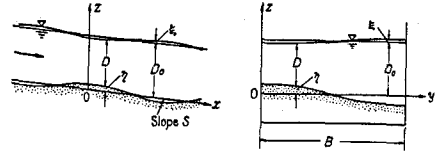


Fig. 1 Definition Sketch

$$u \frac{\partial u}{\partial x} + v \frac{\partial u}{\partial y} + g \left(\frac{\partial D}{\partial x} + \frac{\partial z}{\partial x} \right) + \frac{\tau_x}{\rho D} - g S = 0 \dots (7)$$

$$u \frac{\partial v}{\partial x} + v \frac{\partial v}{\partial y} + g \left(\frac{\partial D}{\partial y} + \frac{\partial z}{\partial y} \right) + \frac{\tau_y}{\rho D} = 0 \dots (8)$$

$$\frac{\partial u D}{\partial x} + \frac{\partial v D}{\partial y} = 0 \dots (9)$$

$$\frac{\partial z}{\partial t} + \frac{\partial T_x}{\partial x} + \frac{\partial T_y}{\partial y} = 0 \dots (10)$$

$$\tau_x = f \frac{1}{2} u^2 \dots (11.a) \quad \tau_y = [v/u] \tau_x \dots (11.b)$$

次に基礎式 (1), (7)~(11) 式に基づいて Stability Analysis を行うわけだが、ここでは解析過程を省略し結果のみを記すこととする。(縮小複製稿中)

4. 単列および複列蛇行の卓越波長



Fig. 2 Meandering (m=1)

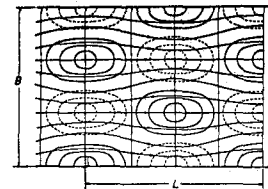


Fig. 3 Braiding (m=3)

単列蛇行と複列蛇行はそれぞれ図-2, 3 に示されるが、ここで、

$$\partial k C_1 / \partial k = 0, \quad \partial^2 k C_1 / \partial k^2 < 0, \quad C_1(k=k_D) > 0 \dots (12)$$

の条件を満足すれば、即ち卓越波長を振動法を用いて

$$(SB/m\alpha D_0)^2 \ll 1, \approx 1, \gg 1 \dots (13)$$

の三つの場合をそれぞれ求めた結果を $(SB/m\alpha D_0)^2 \ll 1$ についてのみに記すこととする。ここで、 $k C_1$ は擾

乱の初期増幅率である。 $k = 2\pi D_s / L$: 二次元波数。

$$\frac{L}{B} = \frac{2}{m} \left[\frac{(10 + 19F^2 + 7F^4)(1 - F^2)}{-(5 + 8F^2 + 5F^4) + \sqrt{25 + 110F^2 + 141F^4 + 44F^6 + 4F^8}} \right]^{1/2} \quad (14)$$

また、卓越波長の増幅率は

$$[k_G]_{k_D} = \begin{cases} (A_s S / F^2) \{ 5 - (27/50)(m\pi D_s / B)^2 (G/S) F^4 \} & \text{for } F^2 < 1 \\ (A_s S / F^2) \{ (49/8) - (9/50)(m\pi D_s / B)^2 (G/S)(1/F^2) \} & \text{for } F^2 > 1 \end{cases} \quad (15)$$

ここで、(15)式をみるにわかるように $G_s (= \delta / D_s) \approx 0$ の限り、mode $m=1$ で $[k_G]_{k_D} = \max.$ となることから、通水距離 G_s の単列蛇行の発生をもちろむといえる。そこで、理論と実験値、実験値と比較するとよい。図-4, 5となる。($m=1$)

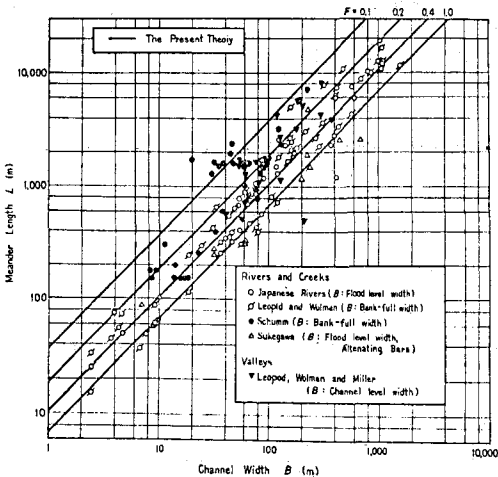


Fig. 4 Comparison of Predicted and Observed Meander-Lengths

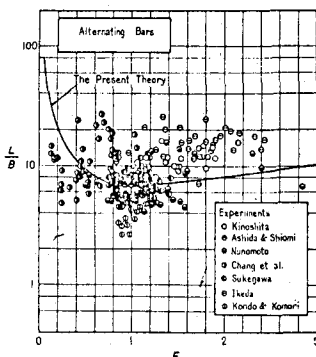


Fig. 5 The Meander-Lengths Observed at Laboratories and the Theory

5. 河床形態の形成領域区分

理論展開と踏まえて知られたパラメータ $B S / D_s$ と Froude number F とで河床形態の形成領域を区分すると図-6, 7, 8 のようになる。図-9は実験値との比較である。

